

川崎製鉄(株)構造研究所 正員 ○藤本智也  
 ノ 鋼構造研究所 正員 原道彦  
 ノ 建材開発部 正員 池田敬之介

### 1. まえがき

長距離埋設パイプラインでは、流体輸送のため管内に非常に高い内圧が作用し、一方管外には、土圧、輪荷重等の上載荷重が作用する。前者の内圧は管体にわゆるフーパテンションを生じ、後者の上載荷重は管軸方向に曲げ応力を生じさせる。本実験はこれら二方向外力の組み合せによって管体に生じる応力および変形性状に対する評価を明らかにするため実施したものである。

### 2. 供試管、試験装置および試験法

#### 2-1 供試管

供試管はAPI5LXのグレードX60を母管とし、供試管長手方向中央部に手溶接による全周突き合わせ溶接部を有するものを使用した。内圧を作用させるため供試管両端部に鏡板を溶接して管を閉塞したが、この状態では内圧を負荷した場合、管端を閉塞しているため供試管にはフーパテンションを生じるとともに、さらに管軸方向に引張の軸力が余分に加わり、フーパテンションのみの応力状態にはなりえない。したがって、この軸引張力を消去するため供試管の両側に2本のPC用ストランドケーブルを配置して内圧にて生じる引張軸力を等価な圧縮軸力を負荷できるようにし、上記の引張軸力とバランスするごとく工夫した。また載荷点および支点位置にはリブプレートを供試管全周に溶接して管の偏平化を防止した。表-1に供試管諸元と断面性能を、表-2にそれぞれ供試管と溶着金属の機械的性能試験結果を示す。

#### 2-2 試験装置および試験法

純曲げ試験を行うため供試管は単純支持とし、スパン中央点に対して対称な2点集中載荷方式とした。曲げスパンは、4.5m、荷重スパンは1mである。内圧は手動式水圧テストポンプを用いて100%を負荷した。また、集中荷重の加力には200tセンターホールオイルジャッキを使用した。荷重の検出には、水圧に対しては供試管端部にとりつけたブルドン管式水圧ゲージの、また、集中荷重に対してはジャッキ直下に配置した20tロードセルの値をそれぞれ読み取った。一方スパン中央点のため測定には伸び計を、またひずみ測定にはストレインゲージを使用した。負荷手順は次のとくである。まず、すべての貼付ゲージの零点調整を行った後、水圧ポンプを作動させる。内圧の増加に伴って管周方向、管軸方向ともひずみが生じる

表-1 供試管諸元と断面性能

外径 mm	管厚 mm	長さ mm	断面積 cm <sup>2</sup>	断面2倍 cm <sup>2</sup>	断面係数 cm <sup>3</sup>
406.4	12.7	4830	157.1	30466	1510

表-2 供試管の機械的性能試験結果

軸方向			周方向		
降伏点 kg/mm <sup>2</sup>	引張強度 kg/mm <sup>2</sup>	伸び %	降伏点 kg/mm <sup>2</sup>	引張強度 kg/mm <sup>2</sup>	伸び %
57.5	67.5	33.7	57.6	67.3	30.1

表-3 溶着金属の機械的性能試験結果

降伏点 kg/mm <sup>2</sup>	引張強度 kg/mm <sup>2</sup>	伸び %
57.5	67.1	30.0

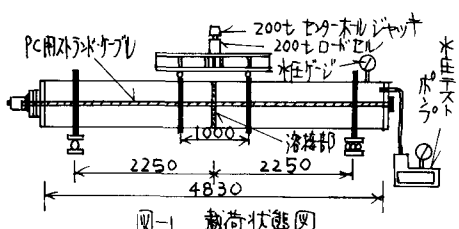


図-1 負荷状態図

が、内圧が設定圧力 100% に達した後、貼付ゲージの管軸方向ひずみが零になるまで供試管の両側に設けた 2 本の PC 用ストランドケーブルを緊張させる。次に内圧 100% を保持した状態で、供試管が破壊に至るまで上載荷重を徐々に増加する。図-1 に概略の載荷状態図を示す。

### 3. 試験結果および考察

#### 3-1 荷重・たわみ曲線

図-2 にスパン中央点の荷重・たわみ曲線を示す。図中、点線は単純ばかりとして計算したたわみである。70 t 近傍まではたわみもほぼ直線的にのびるが、70 t に至ると降伏を起して急激に変形が増大しており、弾性域内では単純ばかりとして計算した値に比較的よく一致することがわかる。

なお、破壊箇所はスパン中央点の突き合わせ溶接部と母管部の境界にあたる、いわゆるボンド部であり、引張側からクラックが発生してほぼ管断面全周の方にわたって割裂し、破壊時の荷重は 138 t であった。

#### 3-2 降伏荷重と破壊荷重

##### (i) Mises-Hencky の Yield Condition

$$2\sigma_y^2 = (\sigma_L - \sigma_H)^2 + (\sigma_H - \sigma_R)^2 + (\sigma_R - \sigma_L)^2 \quad \text{--- (1)}$$

ここで、 $\sigma_Y$ : 降伏応力、 $\sigma_L$ : 管軸方向応力、 $\sigma_H$ : 管周方向応力、 $\sigma_R$ : 半径方向応力、 $\sigma_R$  は  $\sigma_L$ 、 $\sigma_H$  に比べて微少として無視し、 $\sigma_R = 0$  とすれば、式(1)は次式のように無次元表示される。

$$\frac{\sigma_y}{\sigma_Y} = \frac{\sigma_L}{\sigma_Y} \pm \left\{ 1 - 0.75 \left( \frac{\sigma_H}{\sigma_Y} \right)^2 \right\}^{1/2} \quad \text{--- (1')}$$

##### (ii) Tresca の Yield Condition

$$\frac{\sigma_y}{\sigma_Y} = \frac{\sigma_H}{\sigma_Y} = 1 \quad (\sigma_L \geq 0 \text{ のとき}) \quad \text{--- (2)}$$

$$\frac{1}{\sigma_L - \sigma_H} / \frac{\sigma_y}{\sigma_Y} = 1 \quad (\sigma_L < 0 \text{ のとき})$$

式(1')、(2)を図-3 に示す。本試験の  $\frac{\sigma_y}{\sigma_Y}$  値は 0.28 となり。

図-3 より Mises、Tresca の降伏条件式を満足させる点は、圧縮側ではそれだけ A、B 点であり他方引張側では A'、B' 点である。もちろん降伏荷重は圧縮側の A、B 点で決まり、この両点に対応する上載荷重値を、図-2 から推定される降伏荷重 70 t と比較すれば表-4 に示す結果がえられる。表-4 から Mises、Tresca 両条件式とも実測値より幾分大きな値を示しているが Tresca 式の方が実測値に対する近似度が良い。

##### (iii) 破壊荷重

破壊荷重とせん断ひずみエネルギー説にしたがって求めると(1)式の面積  $\sigma_y$  を  $\sigma_Y$  に置換した次式で与えられる。

(7)

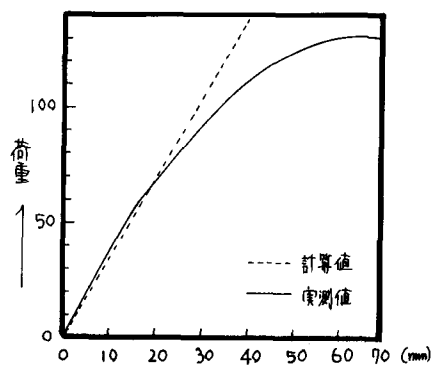


図-2 荷重・たわみ曲線

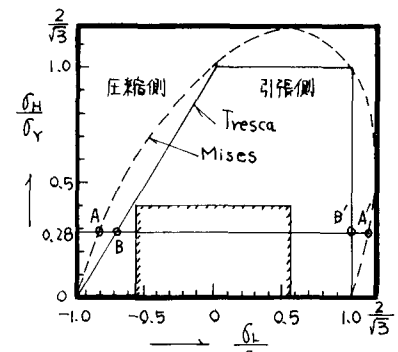


図-3 降伏条件式

表-4 降伏荷重算定結果 (単位:t)

降伏条件式	Mises			Tresca		
	計算値	実測値	差	計算値	実測値	差
降伏荷重	87.4	70.0	1.25	75.8	70.0	1.08

$$\delta_L/\delta_T = \delta_H/\delta_T \pm \{1 - 0.75(\delta_H/\delta_T)^2\}^{1/2} \quad \dots \dots \dots \quad (3)$$

式(3)は本試験の $\theta_H/\theta_T$ 値である  $\alpha$ と $\gamma$ を代入すれば

$$\delta Y_{\sigma T} = 1.00 \quad (\text{引張側})$$

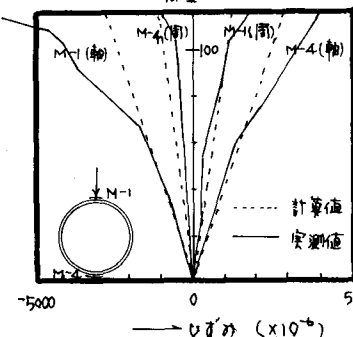
$$\gamma = -0.86 \quad (\text{压缩侧})$$

となり、これらの $\sigma/\sigma_0$ 値に対する上載荷重は引張側で1/23.3t、圧縮側で1/106.0tとなる。本試験の破壊は既述したように圧縮側で局部附生層は発生せず、引張縁の割裂破壊に終った。最大荷重は1/38tであり、上の $\sigma/\sigma_0 = 1.00$ に対する上載荷重1/23.3tと比較すると、約1/10程度実測値が大きな値を示した。しかしそん断ひずみエネルギー説の破壊に対する妥当性や、試験法自体には試験装置などから生じる誤差などを考慮すると、すばら適当な値と言えよう。

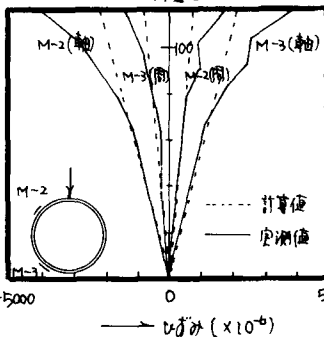
### 3-3 荷重・ひずみ曲線

(ii) 母管部

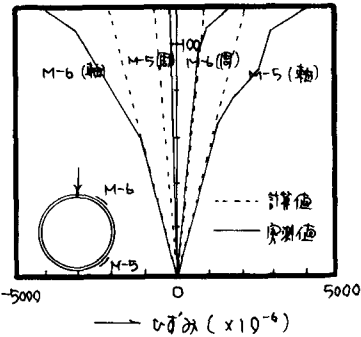
母管部のひずみ測定のため、スパン中央点の溶接部中心から50mm離れた断面にス軸直交ゲージと貼付した。このゲージから求めた荷重・ひずみ曲線を図-4、5、6に示す。図4は引張縁、圧縮縁のゲージM-4、M-1の荷重・ひずみ曲線であり、図5、6は8分点の位置のそれである。管軸方



#### 图-4 荷重-心肺外曲率



### 图-5 荷重・好み曲線



### 图一六 荷重・ひずみ曲線

何のひずみはいすれもほぼ計算値に近く、荷重 $\tau_0$ より計算値から外れて降伏を始め、ひずみもまた急激に増加する傾向を示している。管周方向のひずみも $M-4$ 、 $M-5$ が計算値よりかなり小さく測定された以外は、計算値に比較的よく合致している。しばしば指摘される管固有の残留応力の影響は、弾性域内で測定値がほぼ計算値に一致していることから見て、極めて僅少であると言える。

### (ii) 窒接部

載荷試験に先立ち、供試管と同じ材質、断面を有する長さノズルmmの短管どうしと、供試管を製作した時と同一条件の溶接方法、手順で突き合わせ溶接し、溶接部の残留応力測定のためのテストピースを作製した。このテストピースを用い、溶接ビード中心線に沿って管外面に軸直交ゲージを貼付した後、ゲージの周囲を鋸切りして溶接部の残留応力を測定した。結果を図-7に記し、併せて溶接部の荷重・ひずみ曲線を図-8、9、10に示す。残留応力は図-7に見られるごく溶接部の各位置によって大きさが著しく異なる。まず、溶接始点近傍では周方向の残留応力はほとんどないが軸方向応力には圧縮残留応力が30%程度存在する。溶接終点近傍では周方向応力は零であるが、軸方向応力として引張残留応力が30%が残存する。これらの中間各点では周方向応力として引張残留応力

が $10 \sim 20 \text{ kg/mm}^2$ 、また軸方向応力として圧縮残留応力が $10 \sim 30 \text{ kg/mm}^2$ 存在していることがわかる。これら溶接部の各点に關し、溶接残留応力を内圧および上載荷重による応力に重ね合わせ Tresca の降伏条件を用いて降伏荷重値を算出すれば、表-5 の結果がえられる。ちなみに、溶接は図-9 に示す貼付ゲージ W-2 近傍を始点とし、図-10 に示す貼付ゲージ W-5 を終点として、W-2, W-5 の両点を結んだ線を対称軸とする上進左右対称溶接を行っている。溶接始点にあたる W-2 では計算降伏荷重が $29.3 t$ となり、図-9 に示す W-2 ゲージの軸方向と周方向の荷重・ひずみ曲線でも $30 t$ 前後から実測荷重(t)

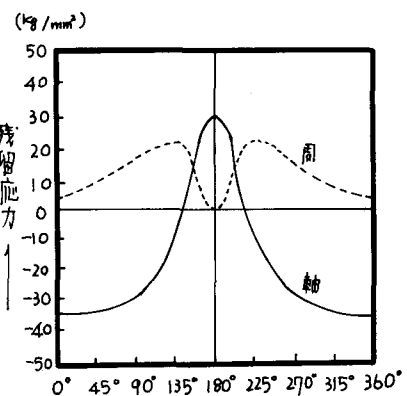


図-7 溶接部の残留応力  
荷重(t)

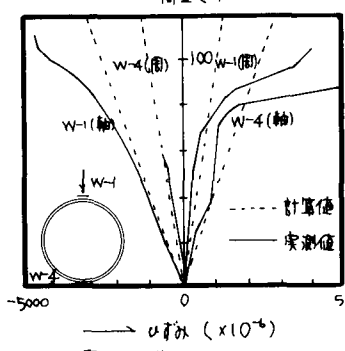


図-8 荷重・ひずみ曲線

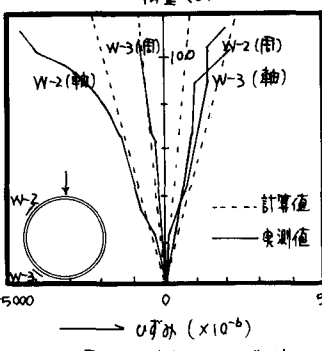


図-9 荷重・ひずみ曲線

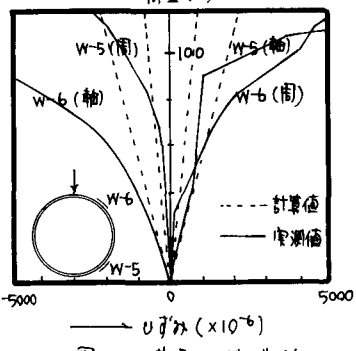


図-10 荷重・ひずみ曲線

値が点線で示す計算値の直線から急に外れているのがわかる。また溶接終点にあたる W-5 では計算降伏荷重が $70.8 t$ となり、先の母管部の降伏荷重と比較しても大差はない。図-10 に W-5 ゲージの荷重・ひずみ曲線を示したが周方向ひずみの挙動が荷重 $20 t$ 付近から流れていくのが見られる。中間点の一例として W-6 のひずみ挙動を述べると、この点では計算降伏荷重に対する応力値よりも、その点に内在する溶接残留応力値の方が大きく、上載荷重を負荷する以前にすでに降伏してしまることになる。事実、図-10 に見られる W-6 の軸方向ひずみの挙動は当初より直線を外し降伏域にあることを示唆しており前項の現象の妥当性がうかがえる。

### 3-4 設計荷重と最大耐力

国鉄パイアライン基準にしたがえば、内圧によって生じるフーアストレスの許容応力は母材の規格最小降伏強度の $40\%$ 以下、すなわち安全率を $2.5$ にとるよう規定されている。また曲げ応力についてはフーアストレスの許容応力の 1.4 倍まで誤めるとされており、これらの許容限界域を図-3 に示せば斜線で示した領域内となる。したがって $|f_{yy}| = 0.56$ に対応する上載荷重を本試験条件に合わせて計算すれば $43.3 t$ となり、終局耐力 $138 t$ は許容荷重の約 3.2 倍に該当する。以上を総括すれば、母管部、溶接部とも曲げに対しては十分なる強度と安全性を有していることが本実験により明白となったといえる。

表-5 降伏荷重算定結果 (単位 t)

溶接位置	ゲージ	計算値	実測値	計算値 実測値
始点	W-2	29.3	28	1.05
終点	W-5	70.8	70	1.01
中間点	W-6	—	—	1.00